



1 cubeta  
 2 cubeta

- f) Ajuste a posição da lente até que essas linhas se tornem as mais nítidas possíveis no anteparo.
- g) Meça a posição de todas as linhas escuras observadas em termos dos respectivos comprimentos de onda.
- h) Repita o procedimento para a outra cubeta.
- i) Abaixo estão mostrados os espectros de absorção desses cloretos dissolvidos em água obtidos na literatura. Compare com os seus resultados e identifique as soluções presentes em cada cubeta (cubeta 1 = da extremidade, cubeta 2 = mais próxima ao poste do suporte).

Referências Adicionais:

- 1) Nandbook of basic atomic spectroscopic data, NIST  
<http://www.nist.gov/pml/data/handbook/index.cfm>
- 2) E. R. de Azevedo, L. A. Oliveira Nunes, Quim. Nova **31**, 2199 (2008),  
<http://quimicanova.sbq.org.br/qn/qnol/2008/vol31n8/48-ED08084.pdf>
- 3) L. P. Ravaro, E. A. Morais, L. V. A. Scalvi, M. Siu Li, Ceramica **53**, 187 (2007),  
<http://www.scielo.br/pdf/ce/v53n326/13.pdf>
- 4) Fernando H. Cristovan *et al.*, Quim. Nova **28**, 964 (2005),  
<http://quimicanova.sbq.org.br/qn/qnol/2005/vol28n6/05-AR04212.pdf>

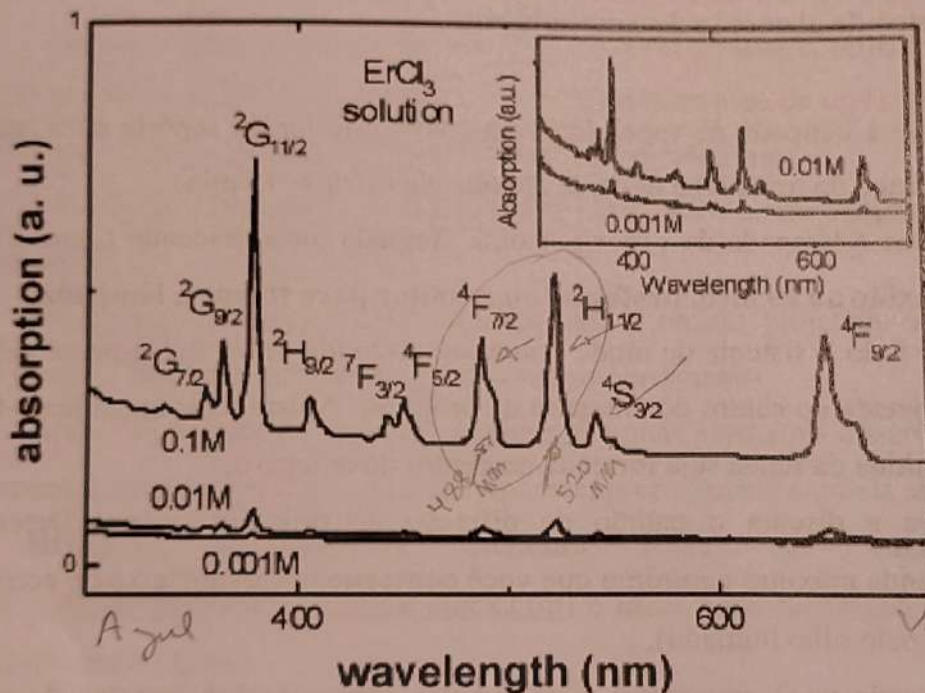
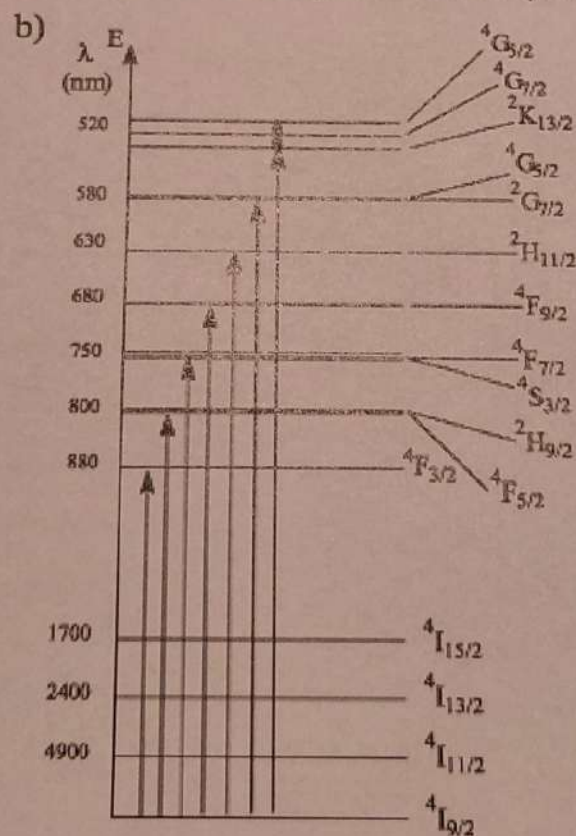
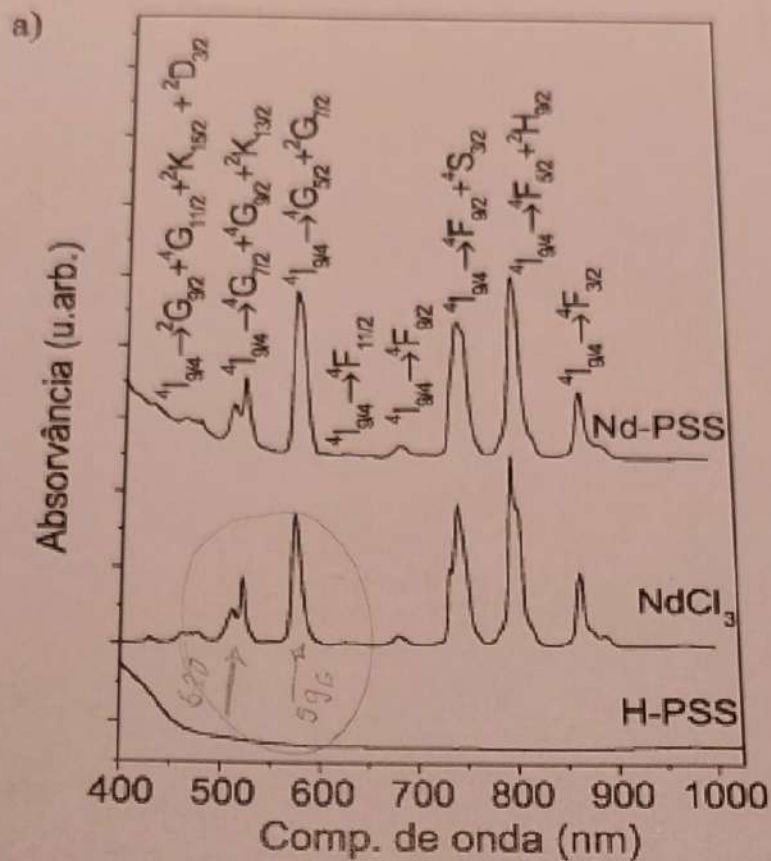


Figure 5: Optical absorption spectra of  $\text{ErCl}_3$  solution at several concentrations (0.1, 0.01 and 0.001 mol). Inset -magnification of data for solutions 0.01 and 0.001 mol, for better visualization.  
 [Figura 5: Espectros de absorção óptica de solução de  $\text{ErCl}_3$  em várias concentrações (0,1, 0,01 e 0,001 mol). Inserção: visão ampliada para as soluções 0,01 e 0,001.]





**Figura 2.** a) Espectro de absorção no UV-Vis-NIR de um filme de Nd-PSS contendo 13,92% mol/mol de Nd<sup>3+</sup> e do NdCl<sub>3</sub>, 20x10<sup>-3</sup> mol L<sup>-1</sup> em solução aquosa; (b) diagrama de energia para as transições eletrônicas do neodímio na matriz de poliestireno sulfonado